



UNIVERSITY OF
BIRMINGHAM

Saber: a Post-Quantum Lattice-Based Protocol

Andrea Basso (Saber team)

PQCifris, 24 agosto 2020

In brevissimo

Cos'è Saber

Saber è un protocollo crittografico

- post-quantum, cioè resistente agli attacchi quantistici
- basato sui reticoli e sul problema del Mod-LWR

In pratica,

- offre buone performance software e ottime performance hardware
- ha costi di comunicazione ridotti
- è flessibile e usabile praticamente

La crittografia è un problema dopo l'altro

Ogni protocollo crittografico si basa su un problema computazionale che è facile da generare e difficile da risolvere.

Alcuni esempi classici sono:

- la fattorizzazione degli interi (RSA)
- il logaritmo discreto (Diffie-Hellman)

Nella crittografia basata sui reticoli, le famiglie di problemi sono:

- NTRU
- Learning With Errors

Learning With Errors (LWE) [Reg05]

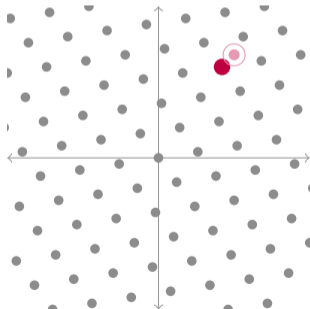
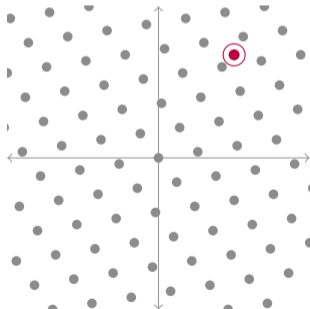
Il problema LWE chiede di ottenere il vettore $\mathbf{s} \in \mathbb{Z}_q^n$, conosciuti la matrice $A \in \mathbb{Z}_q^{n \times n}$ e il vettore \mathbf{b} , dove

$$\mathbf{b} = \underbrace{\begin{bmatrix} a_{0,0} & a_{0,1} & \dots & a_{0,n-1} \\ a_{1,0} & a_{1,1} & \dots & a_{1,n-1} \\ \vdots & \vdots & \ddots & \vdots \\ a_{n-1,0} & a_{n-1,1} & \dots & a_{n-1,n-1} \end{bmatrix}}_A \underbrace{\begin{bmatrix} s_0 \\ s_1 \\ \vdots \\ s_{n-1} \end{bmatrix}}_s + \underbrace{\begin{bmatrix} e_0 \\ e_1 \\ \vdots \\ e_{n-1} \end{bmatrix}}_e.$$

Cos'è un reticolo (*lattice*)

Data una base $B = \{\mathbf{b}_0, \mathbf{b}_1, \dots, \mathbf{b}_m\} \in \mathbb{Z}^n$, un reticolo \mathcal{L} è definito come

$$\mathcal{L} = \left\{ \sum \alpha_i \mathbf{b}_i \mid \alpha_i \in \mathbb{Z} \right\}.$$



Ring Learning With Errors (RLWE)

Se la matrice A è scelta accuratamente, il prodotto As si riduce ad una moltiplicazione tra polinomi in un anello.

Per esempio, se la matrice A è della forma

$$A = \begin{bmatrix} a_0 & a_1 & \dots & a_{n-1} \\ a_1 & a_2 & \dots & -a_0 \\ \vdots & \vdots & \ddots & \vdots \\ a_{n-1} & -a_0 & \dots & -a_{n-2} \end{bmatrix},$$

calcolare As è equivalente a calcolare $a(x)s(x)$ sull'anello $\mathbb{Z}_q[x]/\langle x^n + 1 \rangle$, dove

$$a(x) = a_0 + a_1x + \dots + a_{n-1}x^{n-1}, \quad s(x) = s_1 + s_2x + \dots + s_nx^{n-1}.$$

Module Learning With Errors (MLWE)

Esiste una variante sui moduli, dove i valori di A e \mathbf{s} sono polinomi.

Con rango 3, la matrice A è della forma

$$A = \begin{bmatrix} a_{00}(x) & a_{10}(x) & a_{20}(x) \\ a_{01}(x) & a_{11}(x) & a_{21}(x) \\ a_{02}(x) & a_{12}(x) & a_{22}(x) \end{bmatrix}.$$

Il Module Learning With Errors rappresenta una via di mezzo tra il Learning with Errors puro e il Ring Learning with Errors.

Learning With Rounding (LWR)

Di ogni problema, esiste anche la versione *derandomizzata* dove gli errori sono introdotti da un'operazione di *rescaling* e arrotondamento.

Se q è il modulo e $p < q$, il vettore \mathbf{b} è dato da

$$\mathbf{b} = \begin{bmatrix} p \\ -As \\ q \end{bmatrix}.$$

Panorama dei problemi LWE

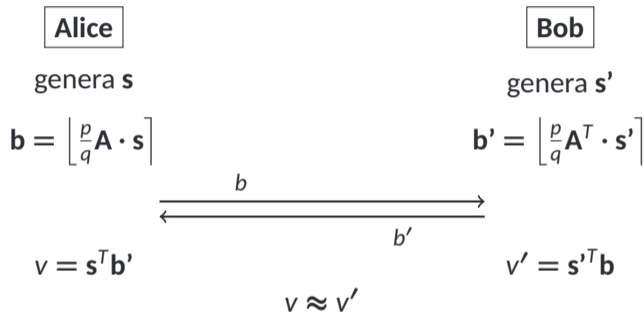
	Base	Ring	Module
Random error	Learning with Errors (LWE)	Ring Learning with Errors (RLWE)	Module Learning with Errors (MLWE)
Rounding	Learning with Rounding (LWR)	Ring Learning with Rounding (RLWR)	Module Learning with Rounding (MLWR)

Sono equivalenti?

In teoria: ci sono riduzioni in tutte le direzioni, ma non sempre strette

In pratica: non esistono (al momento) attacchi che sfruttano le strutture aggiuntive

Come creare un Key-Exchange basato sul Mod-LWR



Perché $v \approx v'$

Alice ottiene $v = s^T \begin{bmatrix} p \\ q \end{bmatrix} A^T \cdot s' = \frac{p}{q} s^T A^T \cdot s' + s^T e$, mentre

Bob ottiene $v' = s'^T \begin{bmatrix} p \\ q \end{bmatrix} A \cdot s = \frac{p}{q} s'^T A \cdot s + s'^T e' = \frac{p}{q} s^T A^T \cdot s' + s'^T e'$.

Saber — Key generation [DKSRV18]

Due schemi: Public-Key Encryption (PKE) e Key Encapsulation Mechanism (KEM).

Tre varianti: LightSaber, Saber e FireSaber (con liv. di sicurezza di AES128, AES192, AES256).

I polinomi sono in $\mathcal{R}_q := \mathbb{Z}_q[x]/\langle x^{256} + 1 \rangle$ o in \mathcal{R}_p , dove $q = 2^{13}$ e $p = 2^{10}$.

Algorithm: Key-generation di Saber.PKE

```
A  $\leftarrow \mathcal{U}(\mathcal{R}_q^{3 \times 3})$  // A è una matrice unif. random 3 × 3 con 9 polinomi  
s  $\leftarrow \beta_4(\mathcal{R}_q^{3 \times 1})$  // s è un vettore di tre polinomi con coeff. in [−4, 4]  
b =  $\begin{bmatrix} p \\ q \end{bmatrix} \mathbf{A}^T \cdot \mathbf{s}$  // b è un vettore di tre polinomi in  $\mathcal{R}_p$   
return pk := (A, b); sk := s
```

Saber — Encryption

Introduciamo il parametro T per comprimere il messaggio criptato e ridurre i costi di comunicazione. T rappresenta il numero di bit più significativi che vengono inviati. In Saber, $T = 4$.

Algorithm: Encryption di Saber.PKE

input: $pk = (\mathbf{A}, \mathbf{b})$, messaggio $m \in \mathcal{R}_2$

$\mathbf{s}' \leftarrow \beta_4(\mathcal{R}_q^{3 \times 1})$ // \mathbf{s}' è un vettore di tre polinomi con coeff. in $[-4, 4]$

$\mathbf{b}' = \left\lfloor \frac{p}{q} \mathbf{A} \cdot \mathbf{s}' \right\rfloor$ // \mathbf{b}' è un vettore di tre polinomi in \mathcal{R}_p

$v' = \mathbf{b}'^T \mathbf{s}'$ // v' è un polinomio in $\mathbb{Z}_p[x]$

$c_m = \left\lfloor \frac{T}{p} v' + \frac{T}{2} m \right\rfloor$

return $c := (c_m, \mathbf{b}')$

Message packing e compressione

Dato che $v' \in \mathbb{Z}_p[x]$ e $p = 2^{10}$, ogni coefficiente può essere rappresentato da 10 bit.

Quindi per ogni coefficiente abbiamo che:

$$v' : \quad \boxed{v_9} \boxed{v_8} \boxed{v_7} \boxed{v_6} \boxed{v_5} \boxed{v_4} \boxed{v_3} \boxed{v_2} \boxed{v_1} \boxed{v_0}$$

$$m : \quad \boxed{m_0}$$

$$v' + m : \quad \underbrace{\boxed{v_9 + m_0} \boxed{v_8} \boxed{v_7} \boxed{v_6}}_{C_m} \boxed{v_5} \boxed{v_4} \boxed{v_3} \boxed{v_2} \boxed{v_1} \boxed{v_0}$$

Saber — Decryption

Algorithm: Decryption di Saber.PKE

input: $c = (c_m, \mathbf{b}')$, $sk = \mathbf{s}$

$$v = \mathbf{b}'^T \mathbf{s}$$

$$m = \left\lfloor \frac{2}{q} \left(v - \frac{p}{T} c_m \right) \right\rfloor$$

return m

v :

v_9	v_8	v_7	v_6	v_5	v_4	v_3	v_2	v_1	v_0
-------	-------	-------	-------	-------	-------	-------	-------	-------	-------

c_m :

$v_9 + m_0$	v_8	v_7	v_6
-------------	-------	-------	-------

$v - c_m$:

m_0	0	0	0	v_5	v_4	v_3	v_2	v_1	v_0
-------	---	---	---	-------	-------	-------	-------	-------	-------

$\underbrace{\hspace{1.5cm}}_m$

Failure is (not) an option

È possibile che la decrittazione fallisca se gli errori introdotti sono troppo grandi.

Se denotiamo con \mathbf{e} ed \mathbf{e}' gli errori introdotti dall'arrotondamento, cioè abbiamo

$$\left\lfloor \frac{p}{q} \mathbf{A}^T \cdot \mathbf{s} \right\rfloor = \frac{p}{q} \mathbf{A}^T \cdot \mathbf{s} + \mathbf{e}, \quad \left\lfloor \frac{p}{q} \mathbf{A} \cdot \mathbf{s}' \right\rfloor = \frac{p}{q} \mathbf{A} \cdot \mathbf{s}' + \mathbf{e}',$$

ed $e_r \in_{\mathbb{R}} [-p/2T, p/2T]$ (errore introdotto dalla compressione), si può calcolare che la decrittazione fallisce solo se

$$\mathbf{s}'^T \mathbf{e} - \mathbf{s}^T \mathbf{e}' + e_r \bmod p \geq p/4.$$

È un problema?

Esistono attacchi che sfruttano questa proprietà [DGJ⁺19], ma la probabilità di decryption failure è negligibile (2^{-136}).

Adaptive attacks e Saber.KEM

Se lo stesso vettore segreto è riutilizzato, Saber.PKE è vulnerabile agli adaptive attacks.

Esiste Saber.KEM, un protocollo basato su Saber.PKE utilizzando la trasformazione di Fujisaki-Okamoto, che permette di riutilizzare lo stesso vettore segreto.

La trasformazione di Fujisaki-Okamoto [HHK17]

FO trasforma un protocollo di crittazione a chiave pubblica (sicuro CPA) in un Key Encapsulation Mechanism (sicuro CCA).

Definisce un algoritmo di encapsulation e decapsulation che impedisce gli adaptive attacks, assicurandosi che tutti gli input siano generati casualmente.

Le caratteristiche di Saber

Module Learning with Rounding

- Flessibilità (si può variare il rango del modulo mantenendo lo stesso grado dei polinomi)
- Non serve generare gli errori
- Minore bandwidth/costi di comunicazione

Distribuzione binomiale per i vettori segreti

- Più flessibile e più facile da implementare di quella uniforme

Le caratteristiche di Saber

Potenze di due

- Generazione della matrice A semplificata
- Riduzioni modulari "gratuite"
- Arrotondamento semplice da implementare
- Non si può usare l'NTT
 - In software, Karatsuba e Toom-Cook
 - In hardware, soluzioni ad-hoc che sfruttano i coefficienti segreti piccoli

Moltiplicazioni non NTT

L'NTT (Number Theoretic Transform) permette di calcolare il prodotto tra polinomi in un campo \mathbb{Z}_q in $\mathcal{O}(n \log n)$, più efficacemente degli altri algoritmi.

Però richiede che **q sia primo** e che **$q \equiv 1 \pmod{2n}$** .

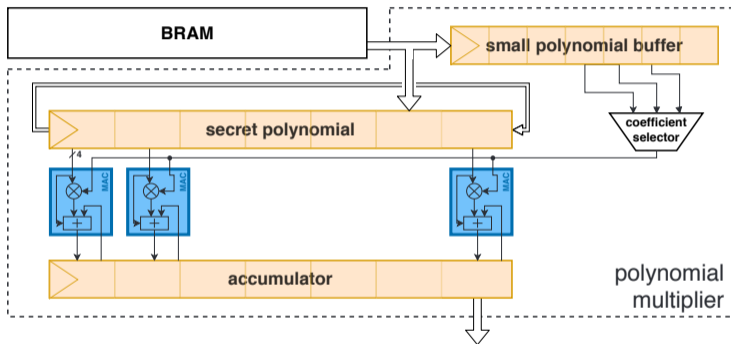
Quindi Saber non può usare l'NTT.

Questo è un grosso argomento di ricerca.

In software, approccio ricorsivo con Karatsuba/Toom-Cook.

In hardware, approccio ad-hoc.

Implementazione hardware ad alte performance [RB20]



Calcola encapsulation/decapsulation in $26.5/32.1 \mu\text{s}$, cioè $\sim 38\text{k}/31\text{k}$ operazioni al secondo, con un consumo d'area di $\sim 24\text{k}$ LUTs, $\sim 10\text{k}$ flip-flops, nessun DSP e 2 BRAM tiles (su un FPGA Ultrascale+).

Attacchi side-channel...

Esistono attacchi che ottengono le chiavi tramite

- timing attacks
- electromagnetic (EM) / power attacks
- fault attacks

La competizione NIST

La side-channel security sarà un fattore decisivo per il round 3 della competizione NIST.

...e le contromisure

Masking

Dividi i valori segreti in due componenti casuali tali che

$$s = s' + s'' \quad (\text{per le operazioni lineari})$$

o tali che

$$s = s' \oplus s'' \quad (\text{per le operazioni bitwise})$$

Saber

- Software: pubblicata di recente un'implementazione resistente agli attacchi side-channel (overhead: 2.5x) [BDK⁺ 20]
- Hardware: ci stiamo lavorando...

Conclusione

Saber è un protocollo

- sicuro,
- veloce,
- flessibile.

Scelte di design meno convenzionali:

- variante con l'arrotondamento dei problemi LWE,
- moduli che sono potenze di due.

Nuovi argomenti da ricercare:

- sicurezza side-channel,
- algoritmi di moltiplicazioni meno convenzionali.

References I

[BDK⁺20] Michiel Van Beirendonck, Jan-Pieter D’Anvers, Angshuman Karmakar, Josep Balasch, and Ingrid Verbauwhede.

A side-channel resistant implementation of saber.

Cryptology ePrint Archive, Report 2020/733, 2020.

<https://eprint.iacr.org/2020/733>.

[DGJ⁺19] Jan-Pieter D’Anvers, Qian Guo, Thomas Johansson, Alexander Nilsson, Frederik Vercauteren, and Ingrid Verbauwhede.

Decryption failure attacks on ind-cca secure lattice-based schemes.

In Dongdai Lin and Kazue Sako, editors, *Public-Key Cryptography – PKC 2019*, pages 565–598, Cham, 2019. Springer International Publishing.

References II

- [DKSRV18] Jan-Pieter D’Anvers, Angshuman Karmakar, Sujoy Sinha Roy, and Frederik Vercauteren.
Saber: Module-LWR Based Key Exchange, CPA-Secure Encryption and CCA-Secure KEM, volume 10831, page 282–305.
Springer International Publishing, 2018.
- [HHK17] Dennis Hofheinz, Kathrin Hövelmanns, and Eike Kiltz.
A Modular Analysis of the Fujisaki-Okamoto Transformation.
In Yael Kalai and Leonid Reyzin, editors, *Theory of Cryptography - 15th International Conference, TCC 2017, Baltimore, MD, USA, November 12-15, 2017, Proceedings, Part I*, volume 10677 of *Lecture Notes in Computer Science*, pages 341–371. Springer, 2017.
- [Jea16] Jérémy Jean.
TikZ for Cryptographers.
<https://www.iacr.org/authors/tikz/>, 2016.

References III

- [RB20] Sujoy Sinha Roy and Andrea Basso.
High-speed instruction-set coprocessor for lattice-based key encapsulation mechanism: Saber in hardware.
Cryptology ePrint Archive, Report 2020/434, 2020.
<https://eprint.iacr.org/2020/434>.
- [Reg05] Oded Regev.
On lattices, learning with errors, random linear codes, and cryptography.
In *Proceedings of the Thirty-Seventh Annual ACM Symposium on Theory of Computing*, STOC '05, page 84–93, New York, NY, USA, 2005. Association for Computing Machinery.